

07,18

Изгибные волны в графене и 2D-супракристаллах

© Р.А. Браже, А.И. Кочаев

Ульяновский государственный технический университет,
Ульяновск, Россия

E-mail: a.kochaev@gmail.com

(Поступила в Редакцию 30 января 2012 г.)

Предложен метод расчета фазовой и групповой скоростей изгибных волн в графеноподобных структурах одноатомной толщины, основанный на выражении модуля изгиба через двумерный модуль Юнга. Метод применим также для исследования характеристик волн „вздутия“ в одностенных нанотрубках достаточно большого диаметра.

Работа поддержана правительством Ульяновской области.

В работах [1,2] нами были рассчитаны упругие характеристики углеродных 2D-супракристаллов в сравнении с частным случаем — графеном — и исследованы особенности распространения в них продольных и поперечных (сдвиговых) упругих волн. Однако в графеноподобных планарных наноразмерных структурах наряду с деформациями растяжения/сжатия и деформациями сдвига возможны также упругие деформации изгиба, обуславливающие существование изгибных волн. Такие деформации необходимо учитывать при разработке устройств гибкой наноэлектроники, а сами изгибные волны могут найти применение в устройствах наноакустоэлектроники.

Волновое уравнение, описывающее изгибные волны в оболочке одноатомной толщины, можно получить из уравнения равновесия такой оболочки, изгибаемой действующей на нее внешней силой,

$$D_2 \Delta^2 u = F/S, \quad (1)$$

где D_2 — двумерный модуль изгиба, Δ — оператор Лапласа по координатам x_1 и x_2 (в плоскости оболочки), u — смещение частиц, F/S — сила, действующая на единицу площади оболочки. Уравнение (1) аналогично уравнению равновесия пластинки конечной толщины, изгибаемой внешней силой [3]. Заменяя в (1) F/S произведением двумерной плотности ρ_2 на ускорение \ddot{u} , получаем искомое волновое уравнение

$$\rho_2 \frac{\partial^2 u}{\partial t^2} + D_2 \Delta^2 u = 0. \quad (2)$$

Будем искать решение (2) в виде монохроматической изгибной волны с прямолинейным фронтом

$$u = A \exp[i(\omega t - \mathbf{k}\mathbf{r})], \quad (3)$$

где волновой вектор $\mathbf{k} = \mathbf{i}k_{x_1} + \mathbf{j}k_{x_2}$, т. е. $k = \sqrt{k_{x_1}^2 + k_{x_2}^2}$. Подстановка (3) в (2) приводит к следующему дисперсионному уравнению для изгибных волн в оболочках одноатомной толщины:

$$\omega = k^2 \left(\frac{D_2}{\rho_2} \right)^{1/2}. \quad (4)$$

Из (4) легко найти фазовую v_f и групповую U_f скорости распространения изгибных (flexural) волн

$$v_f = \left(\frac{D_2}{\rho_2} \right)^{1/4} \omega^{1/2}, \quad (5)$$

$$U_f = 2 \left(\frac{D_2}{\rho_2} \right)^{1/2} k. \quad (6)$$

Отсюда видно, что изгибные волны в планарных супракристаллических структурах в отличие от продольных и поперечных упругих волн [2] обладают дисперсией: их скорость распространения зависит от частоты (волнового числа).

Двумерный модуль изгиба D_2 , так же как и для пластин конечной толщины [3–5], можно определить как производную момента M изгибающей силы F , действующей на единицу поперечной длины W изгибаемого слоя, по кривизне κ изгиба

$$D_2 = \frac{dM}{d\kappa}. \quad (7)$$

Поскольку $dM = FdR/W$, $\kappa = 1/R$, где R — радиус инерции оболочки относительно оси, перпендикулярной плоскости изгиба (рис. 1), выражение (7) можно переписать в виде

$$D_2 = \frac{FR^2}{W} = E_2 \frac{\Delta l}{l} R^2,$$

где E_2 — введенный в [6] двумерный модуль Юнга, а $\Delta l/l = \Delta R/R$ — относительное удлинение оболочки, вызванное ее деформацией растяжения/сжатия, обусловленной изгибом.

Пусть изгибная волна распространяется вдоль произвольной оси x'_1 в плоскости (x_1, x_2) , соответствующей оболочке, с фазовой скоростью v_f . Тогда, переходя к подвижной системе отсчета, связанной с фронтом волны, замечаем, что частицы оболочки вращаются по окружностям с радиусом R , равным амплитуде волны A . Абсолютная величина изменения радиуса

$$\Delta R = \int_0^R dr = R,$$

Характеристики изгибных волн в графене и углеродных 2D-супракристаллах

Параметр	(C) ₆	(C) ₄₄	(C) ₆₃₍₆₎	(C) ₆₃₍₁₂₎	(C) ₆₆₄	(C) ₆₃₄
$E_2, \text{N/m}$ [6]	327	187, 63.0	6.00	46.4	220	6.45
$s, 10^6 \text{m}^2/\text{kg}$ [2]	2.63	2.99	4.01	5.79	3.94	5.09
$v_f/\sqrt{2\pi fA}, \text{m}^{1/2} \cdot \text{s}^{-1/2}$	171	152, 117	69.8	155	172	75.5

Примечание. Для структуры (C)₄₄ левые значения соответствуют направлению $\langle 11 \rangle$, а правые — направлению $\langle 10 \rangle$.

таким образом, для изгибных волн в однослойных оболочках

$$D_2 = E_2 R^2 = E_2 A^2. \tag{8}$$

С учетом (8) выражения (5), (6) для фазовой и групповой скоростей принимают вид

$$v_f = \sqrt[4]{E_2 s} \sqrt{2\pi f A}, \tag{9}$$

$$U_f = 2\sqrt{E_2 s} k A. \tag{10}$$

Здесь $s = 1/\rho_2$ — удельная поверхность оболочки [2], f — частота волны.

В 2D-супракристаллах двумерный модуль Юнга E_2 является двумерным тензором четвертого ранга. Его эффективное значение в направлении x'_1 выражается через компоненты тензора упругих податливостей s_{ijkl} [6]

$$E_2 = 1/s'_{1111},$$

где $s'_{1111} = a_{1i} a_{1j} a_{1k} a_{1l} s_{ijkl}$ ($i, j, k, l = 1, 2$), (a_{1n}) — матрица направляющих косинусов системы координат x'_1, x'_2 относительно кристаллофизических осей x_1, x_2 . Выражения для компонент s_{ijkl} и E_2 в случае 2D-супракристаллов приведены в [6].

Значения E_2, s для графена и углеродных супракристаллов, а также величины $v_f/\sqrt{2\pi fA}$ приведены в таблице. На рис. 2 представлены результаты расчета по формуле (9) фазовой скорости изгибной волны в графене как функции частоты и амплитуды. Как следует из таблицы, близкие значения скорости распространения имеют изгибные волны и в других двумерных sp^2 -наноаллотропах. В sp^3 -наноаллотропах, к которым принадлежат структуры (C)₆₃₍₆₎ и (C)₆₃₄, эти скорости более чем в 2 раза меньше. В целом фазовая скорость

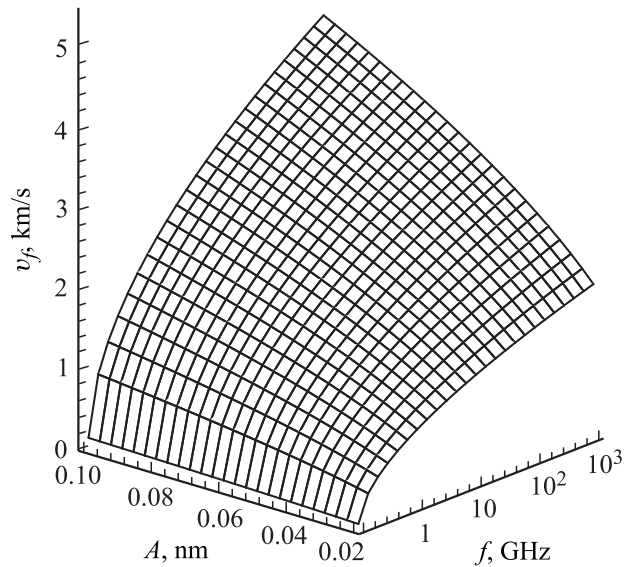


Рис. 2. Зависимость фазовой скорости изгибной волны в графене от ее частоты и амплитуды.

изгибных волн в 2D-супракристаллах в несколько раз меньше фазовой скорости продольных и поперечных упругих волн в этих же структурах.

Предлагаемый в настоящей работе подход к описанию изгибных волн в графеноподобных структурах на основе выражения модуля изгиба через двумерный модуль Юнга представляется нам более перспективным, чем попытки введения „эффективной толщины“ пластины [7]. Во-первых, он более корректен с физической точки зрения. Во-вторых, он последователен, так как сводит задачу нахождения модуля изгиба к вычислению компонент двумерного тензора упругих жесткостей [6], методика отыскания которых была предложена и описана ранее [2]. Наконец, в-третьих, такой подход позволяет решать обратную задачу: по измеренным значениям фазовой скорости изгибной волны находить двумерные модули Юнга планарных структур одноатомной толщины.

Отметим в заключение, что формулы (2), (9), (10) можно использовать и для исследования волн „вздутия“ в одностенных нанотубулярных структурах достаточно большого диаметра, когда взаимодействием атомов, расположенных на противоположных (по диаметру) сторонах нанотрубки, можно пренебречь.

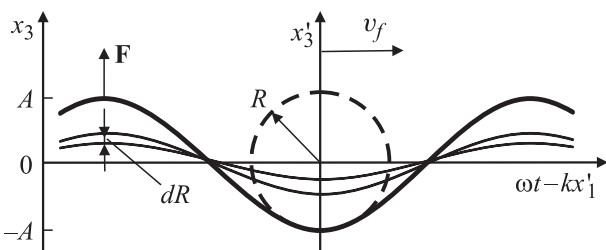


Рис. 1. Деформация оболочки одноатомной толщины в изгибной волне.

Список литературы

- [1] Р.А. Браже, А.А. Каренин, А.И. Кочаев, Р.М. Мефтахутдинов. ФТТ **53**, 7, 1406 (2011).
- [2] Р.А. Браже, А.И. Кочаев, Р.М. Мефтахутдинов. ФТТ **53**, 8, 1614 (2011).
- [3] Л.Д. Ландау, Е.М. Лифшиц. Теория упругости. Наука, М. (1987). 248 с.
- [4] П.А. Жилин. Прикладная механика. Основы теории оболочек. Изд-во СПбГПУ, СПб. (2006). 167 с.
- [5] Q. Lu, M. Arroyo, R. Huang. J. Appl. Phys. **42**, 102002 (2009).
- [6] Р.А. Браже, А.И. Кочаев, В.С. Нефёдов. ФТТ **54**, 7, 1347 (2012).
- [7] S.Y. Kim, H.S. Park. J. Appl. Phys. **110**, 054324 (2011).